

205 South 600 West Logan, Utah 84323, Stany Zjednoczone Ameryki – Tel. (800) 729-8350 – Tel. (435) 755-9848 – Faks: (435) 755-0015 – www.scytek.com Wersja 3, 19.07.2022

Zestaw do barwienia hematoksyliny i eozyny

Opis i zasada

Zestaw barwników Hematoksyliny i Eozyna jest przeznaczony do stosowania w zastosowaniach histologicznych i cytologicznych. W tym zestawie znajduje się nowo opracowana Eozyna, która zapewnia korzyści tradycyjnej formuły alkoholowej ze znaczną poprawą użyteczności. Zalety to mniejsza szybkość parowania, lepsze wzory kolorystyczne, zmniejszona tendencja do rozlewania się po pojemniku, rękach i blatach oraz lepsze napięcie powierzchniowe, które pozostaje na sekcji tkanki. Nasza hematoksylina wytwarza wyraźne, intensywnie niebieskie jądra, zapewniając optymalny kontrast z cytoplazmą barwioną eozyną. Jądra są barwione szybkim i postępującym roztworem hematoksyliny. Wiązanie jądrowe z hematoksylina jest ułatwione dzięki zastosowaniu aluminium do tworzenia jeziora barwnika aluminium-hematynowego. Odczynnik do niebieszczenia stosuje się w celu przekształcenia nierozpuszczalnego kompleksu aluminium-hematynowego, który jest czerwony, w nierozpuszczalne niebieskie jezioro. Tkanka jest barwiona przeciwnie za pomocą roztworu barwnika Eozyna Y, co powoduje zróżnicowane barwienie erytrocytów, kolagenu i mięśni.

Oczekiwane rezultaty

Cytoplazma:	Jasnorożowy
Kolagen:	Różowy
Mięsień:	Różowy/Różowy
Erytrocytów:	Różowy/Czerwony
Jądra:	Niebieski

Zawartość zestawu

Zawartość zestawu	Składowanie
1. Hematoksyliny, choroba Mayera (modyfikacja Lillie)	18-25°C
2. Odczynnik do niebieszczenia	18-25°C
3. Roztwór eozyny Y (modyfikowany alkoholik)	18-25°C

Sugerowane elementy sterujące (brak w zestawie)

Każdy dobrze utrwalony wycinek tkanki zatopiony w parafinie lub zamrożony.
Rozmaz komórkowy.

Zastosowania/ograniczenia

Wyłącznie do diagnostyki in vitro.
Nie używać, jeśli odczynniki zmętnieją lub wytrąca się.
Nie używaj przeterminowanej daty ważności.
Należy zachować ostrożność podczas obchodzenia się z odczynnikami.
Niesterylne
Przeznaczony do odcińków FFPE ciętych z prędkością 5-10µm.
Ta procedura nie została zoptymalizowana pod kątem zamrożonych sekcji.
Zamrożone sekcje mogą wymagać modyfikacji protokołu.

Składowanie

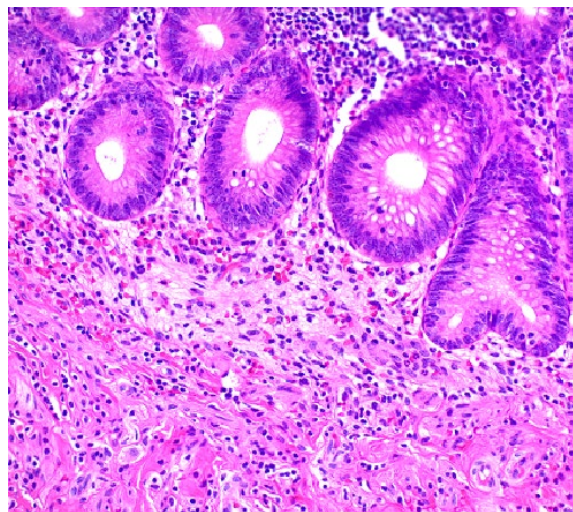
Przechowuj zestaw i wszystkie elementy w temperaturze pokojowej (18-25°C).

Bezpieczeństwo i środki ostrożności

Prosimy o zapoznanie się z aktualnymi kartami charakterystyki (SDS) dla tego produktu i komponentów, klasyfikacją GHS, piktogramami i pełnymi zwrótami wskazującymi rodzaj zagrożenia/środkami ostrożności.

Procedura:

1. W razie potrzeby odparafinować skrawki i uwodnić do wody destylowanej.
2. Zastosuj Hematoksylinę, modyfikację Mayera (modyfikacja Lillie) przez 5 minut.
3. Oplucz szkiełko w 2 podmianach wody destylowanej, aby usunąć nadmiar plam.
4. Zastosuj odczynnik do niebieszczenia przez 10-15 sekund.



Human Colon stained with Hematoxylin and Eosin Stain Kit

5. Splucz szkiełko w 2 podmianach wody destylowanej.
6. Zanurz szkiełko w absolutnym alkoholu i osusz nadmiar.
7. Zastosuj roztwór eozyny Y (zmodyfikowany alkoholik) przez 2-3 minuty.
8. Przeplukaj szkiełko alkoholem bezwodnym.
9. Odwodnić szkiełko w 3 przemianach alkoholu bezwodnego.
10. Przezroczysty suwak i montaż w żywicy syntetycznej.

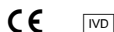
Odwołania

1. Shi X, An X, Yang L, Wu Z, Zan D, Li Z, Pang B, Chen Y, Li J, Tan P, Ma RZ. Niedobór retikulocalbiny 3 w nabłonku pęcherzyków płucnych osłabiał ALI indukowany przez LPS poprzez sygnalizację NFκB. American Journal of Physiology-Fizjologia komórki i molekularna płuc. 2021 Luty 24.
2. Kim SY, Lee MS, Chang E, Jung S, Ko H, Lee E, Lee S, Kim CT, Kim IH, Kim Y. Ekstrakt z gryki Tartary osłabił stan zapalny wywołany otyłością i zwiększył ekspresję mięśni PGC-1α / SIRT1 u otyłych szczurów o wysokiej zawartości tłuszczu. Składników odżywczych. 2019 marca; 11(3):654.
3. Park BK, Lee JH, Seo HW, Oh KS, Lee JH, Lee BH. Ikaryna chroni przed śmiertelnością i uszkodzeniami spowodowanymi promieniowaniem in vitro i in vivo. Międzynarodowe czasopismo biologii radiacyjnej. 2019 Luty 28 (właśnie zaakceptowane): 1-27.
4. Belus MT, Rogers MA, Elzubeir A, Josey M, Rose S, Andreeva V, Yelick PC, Bates EA. Kir2. 1 jest ważny dla skutecznej sygnalizacji BMP w rozwoju twarzy ssaków. Biologia rozwojowa. 2018 Marzec 20.

5. Nicole C. Clark, Cindy A. Pru, Siu-Pok Yee, John P. Lydon, John J. Peluso, James K. Pru, Warunkowa ablacja składnika błony receptora progesteronu 2 powoduje przedwczesne starzenie się układu rozrodczego kobiet, *Endokrynologia*, tom 158, wydanie 3, 1 marca 2017 r., strony 640–651, <https://doi.org/10.1210/en.2016-1701>
6. Keshewani, Varun, Shyam Sundar Nandi, Surender K. Sharawat, Hamid R. Shahshahan i Paras Kumar Mishra. "Siarkowodór łagodzi patologiczną przebudowę za pośrednictwem homocysteiny poprzez indukowanie miR-133a w kardiomiocytach". *Biochemia molekularna i komórkowa* 404, nr 1-2 (2015): 241-250.
7. Korytnikow, Roman i Maria Krystyna Nostro. "Generowanie polihormonalnych i multipotencjalnych linii progenitorowych trzustki z ludzkich pluripotencjalnych komórek macierzystych." *Metody* (2015).
8. Y. Amir-Levy, K. Mausner-Fainberg i A. Karni, "Leczenie eksperymentalnym autoimmunologicznym zapaleniem mózgu i rdzenia anty-EGF Ab poprzez indukację neurogenezy i oligodendrocytozy", *Multiple Sclerosis International*, tom 2014, s. e926134, grudzień 2014 r.
9. P. Zhang, X. Xu, X. Hu, H. Wang, J. Fassett, Y. Huo, Y. Chen i R. J. Bache, "Niedobór DDAH1 osłabia progresję cyklu komórkowego śródbłonna i angiogenezę", *PLoS ONE*, tom 8, nr 11, s. e79444, listopad 2013 r.
10. Kim, H., Seol-Bong, Y., Choe, J.Y., Paik, J.H., Xu, X., Nitta, H., Zhang, W., Grogan, T.M., Lee, C.T., Jheon, S., Chung, J.H. Wykrywanie rearanzacji genu ALK w niedrobnokomórkowym raku płuca, porównanie fluorescencyjnej hybrydyzacji in situ i chromogennej hybrydyzacji in situ w korelacji ekspresji białka ALK. *Journal of Thoracic Oncology*, tom 6, numer 8, strony 1359-1366, sierpień 2011.
11. Sheenan, D.C., Hrapchak, B.B. *Teoria i praktyka histotechniki*, wydanie 2. CV Mosby, Columbus, OH. Strony 140-141, 1980.
12. Lillie, R.D., Fullmer, H.M. *Technika histopatologiczna i histochemia praktyczna*, wydanie 4, McGraw-Hill, NY. Strony 205-208, 1976.
13. Luna, L.G. *Podręcznik metod barwienia histologicznego Instytutu Patologii Sił Zbrojnych*, wydanie 3, McGraw-Hill, NY, strony 34-35, 1968



ScyTek Laboratories, Inc.
205 South 600 West
Logan, UT 84321
435-755-9848
U.S.A.



EMERGO
EMERGO EUROPE
Prinsessegracht 20
2514 AP The Hague, The Netherlands